

一种新的 H^∞ -优化方法: 梯度方法¹⁾

胡庭姝 陈力

(上海交通大学自动化系 200030)

摘 要

提出一种灵活、有效的 H^∞ -优化方法: 梯度方法。利用 H^∞ -范数与状态空间实现的关系, 定义了目标函数 $\rho(\varepsilon, F)$, $\rho(\varepsilon, F)$ 与 H^∞ -范数之间的关系是:

$$\lim_{\varepsilon \rightarrow 0} \rho(\varepsilon, F) = 1/\|T(s, F)\|_\infty.$$

分析了 $\rho(\varepsilon, F)$ 的可微性, 并给出了 $\partial\rho(\varepsilon, F)/\partial F$ 的具体表达式以及使 $\rho(\varepsilon, F)$ 极大化的梯度方法, 从而导致 $\|T(s, F)\|_\infty$ 的极小化。实例表明, 梯度方法能有效地使 $\rho(\varepsilon, F)$ 上升, 并收敛于驻点或终止于不可微点。

关键词: H^∞ -范数, 梯度方法, 可微性, 极点配置。

1 引言

H^∞ -优化方法在 80 年代末就已形成一套比较成熟和完整的理论体系。已有的 H^∞ -优化方法不同于其它传统的规划方法。两类方法(频域方法和时域方法)都是先给定一个正数 γ , 然后通过解 Riccati 方程判别是否存在控制器使某一 H^∞ -性能指标小于 γ 。这种方法的优点是能逼近最优解, 而不用考虑优化问题的凸性。其缺点是缺乏灵活性, 只能优化单一的 H^∞ -范数, 而不能将其它类型的目标函数综合起来, 构成带加权的复合目标函数。这往往使得 H^∞ -优化问题的最优解(或次优解)在其它指标上不能令人满意, 如极点远离虚轴, 高增益反馈等。如果能加上极点固定在某一位置或区域的限制条件, 或将反馈矩阵的范数作为惩罚项加在 H^∞ -范数之后, 那么优化效果就能得到改善, 但这样改变后的优化问题是已有的 H^∞ -优化方法所不能处理的。

规划中最常用的是梯度方法。这种方法使用起来很灵活, 只要单个目标函数的梯度能求出, 就能求得复合目标函数的梯度, 也能处理带约束条件的优化问题。缺点是不能保证求得最优解。这和上述的 H^∞ -优化方法正相反。但在最优解并不是非求出不可、而只希望目标函数尽可能得到改善的场合, 梯度方法则是非常简单而有效的方法。

求 H^∞ -范数本身就具有一定的难度, 因而求 H^∞ -范数对某一变量的梯度, 似乎是不现实的。文中将利用[1]中所得出的关系, 定义另一目标函数 $\rho(\varepsilon, F)$, 使得

1) 本文的研究获国家自然科学基金资助。
本文于 1993 年 8 月 23 日收到

$$\lim_{\varepsilon \rightarrow 0} \rho(\varepsilon, F) = 1/\|T(s, F)\|_{\infty}$$

而 $\rho(\varepsilon, F)$ 可通过梯度法得到优化, 从而使 $\|T(s, F)\|_{\infty}$ 极小. 这种方法还可用于优化传递函数中的其它变化参数.

2 等价的目标函数 $\rho(\varepsilon, F)$

先讨论如下优化问题:

$$\inf \|H(sI - A - BF)^{-1}G\|_{\infty}, \text{ s. t. } A + BF \text{ 稳定.} \quad (2.1)$$

设 $A \in R^{n \times n}$, $B \in R^{n \times m}$, $F \in R^{m \times n}$, $G \in R^{n \times p}$, $H \in R^{l \times n}$. 以上目标函数在不同场合可分别代表敏感性指标和鲁棒性指标^[2,3]. 这一优化问题的次优解已经能求得. 本文将以此问题作为出发点, 建立一套全新的 H^{∞} -优化方法.

记 $T(s, F) = H(sI - A - BF)^{-1}G$, 文 [1] 有如下结论:

$$\|T(s, F)\|_{\infty} = \max \left\{ \gamma > 0, \begin{bmatrix} A + BF & GG'/\gamma^2 \\ -H'H & -(A + BF)' \end{bmatrix} \text{ 在虚轴上有特征值.} \right\}$$

$k = 1/\gamma$, 并简记 $R(F, k) = \begin{bmatrix} A + BF & kGG' \\ -kH'H & -(A + BF)' \end{bmatrix}$, 则上式等效为

$$\frac{1}{\|T(s, F)\|_{\infty}} = \min \{ k > 0, \text{Re} \lambda_i [R(F, k)] = 0, \text{对某一 } i \}. \quad (2.2)$$

另外, 文 [1] 还指出, 当 $k \geq 1/\|T(s, F)\|_{\infty}$ 时, $R(F, k)$ 在虚轴上总有特征值, 当 $k < 1/\|T(s, F)\|_{\infty}$ 时, $R(F, k)$ 在虚轴上无特征值. 由 $R(F, k)$ 的结构还可以证明, $R(F, k)$ 的特征值关于虚轴对称.

定义: $\rho_0(F) := \min \{ k > 0, \text{Re} \lambda_i [R(F, k)] = 0, \text{对某一 } i \}$.

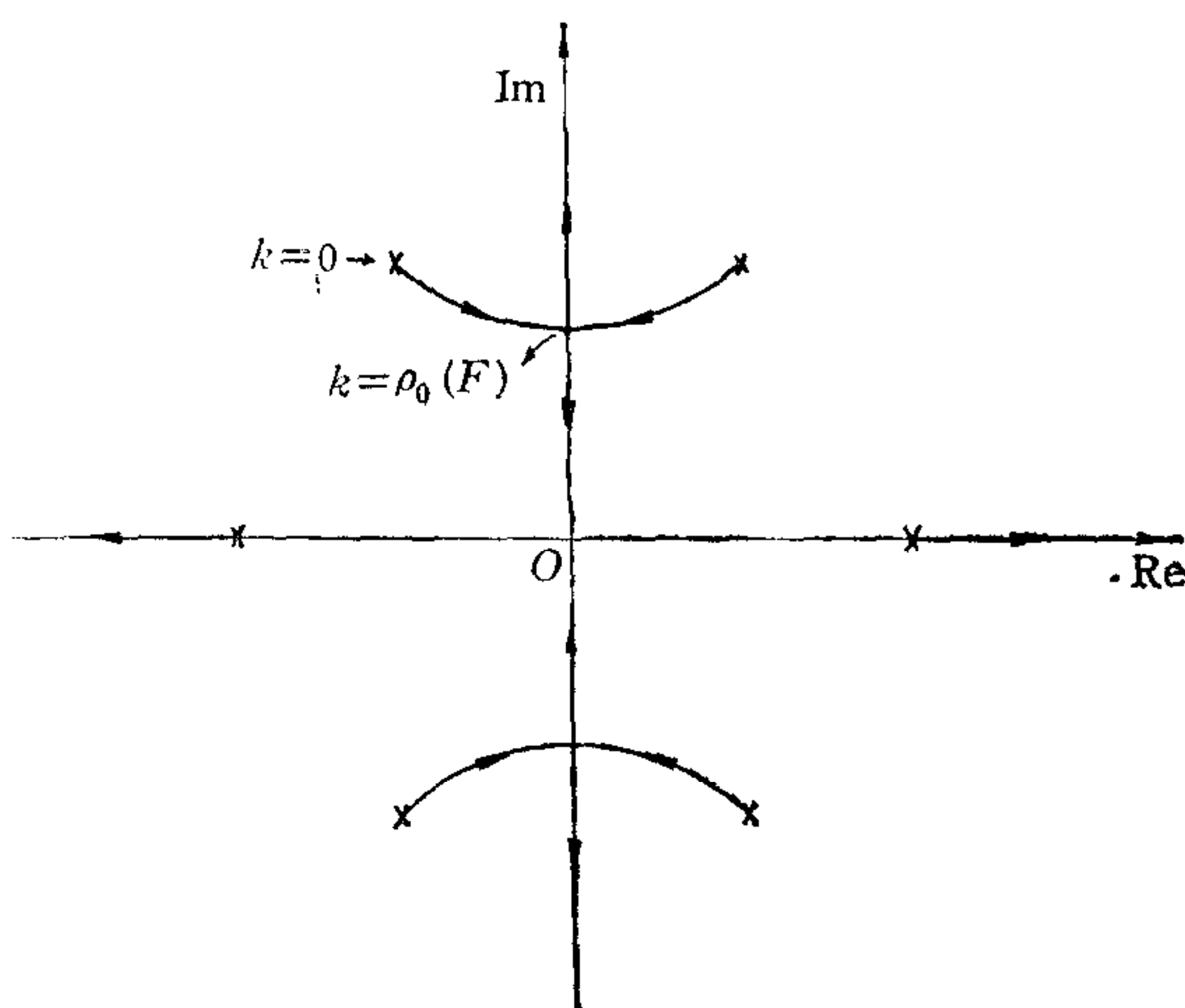


图 1

显然 $\rho_0(F) = 1/\|T(s, F)\|_{\infty}$. 形象地说, $\rho_0(F)$ 等于 $R(F, k)$ 的特征轨迹与虚轴相交的最小 k , 见图 1. 由于特征值关于虚轴对称, 所以当 $k = \rho_0(F)$ 时, 虚轴上的特征值必为重根, 这对于求 $\partial \rho_0(F)/\partial F$ 很不利.

为此, 定义 $\rho(\varepsilon, F)$ 为

$$\rho(\varepsilon, F) := \min \{ k > 0, \text{Re} \lambda_i [R(F, k)] = -\varepsilon, \text{对某一 } i \}, \quad (2.3)$$

其中 ε 为一小正数, 则

$$\lim_{\varepsilon \rightarrow 0} \rho(\varepsilon, F) = \rho_0(F).$$

形象地说, $\rho(\varepsilon, F)$ 等于当 $R(F, k)$

的特征轨迹首次与 $-\varepsilon + j\omega$ 轴相交的 k , 见图 2.

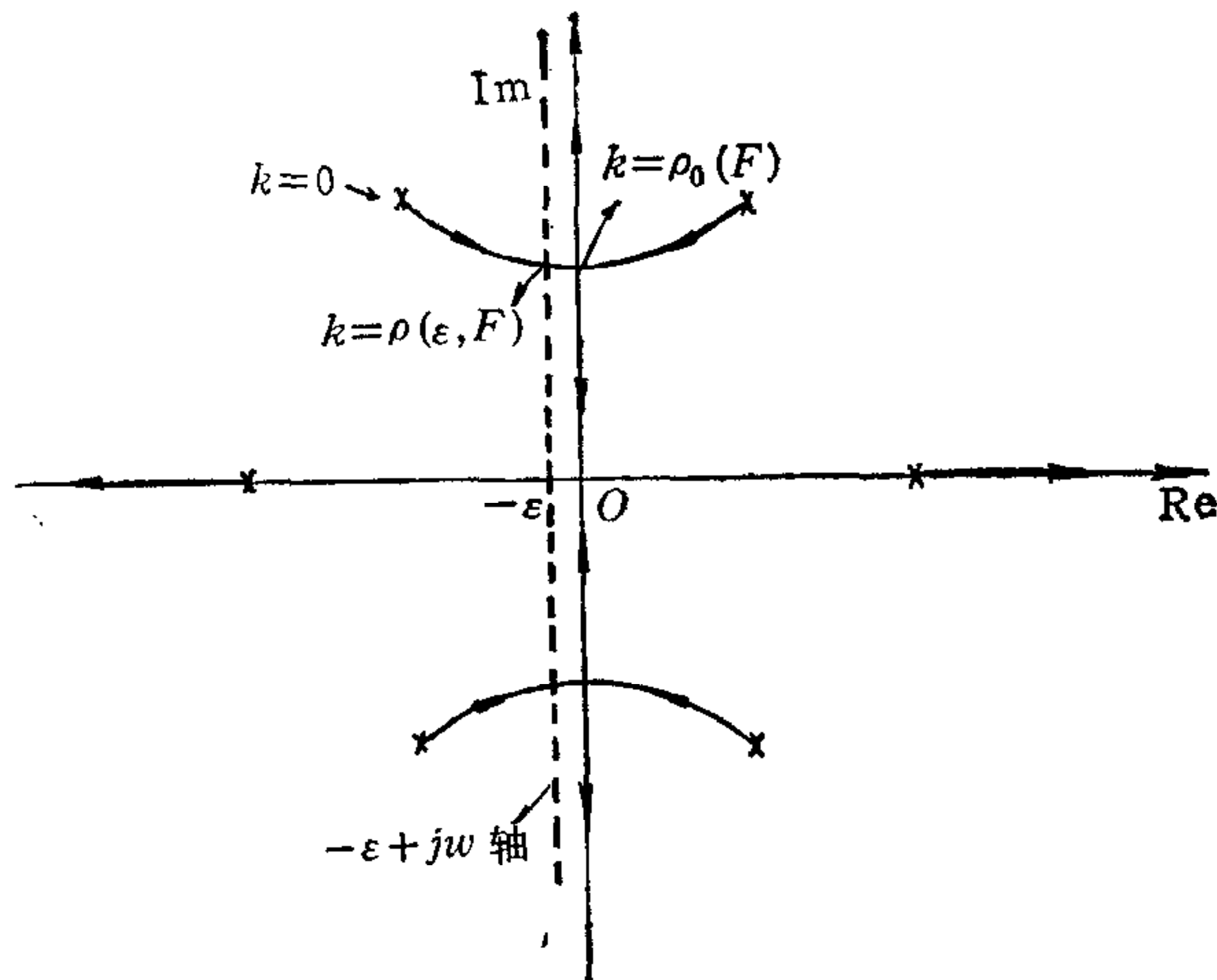


图 2

易知, $\rho(\varepsilon, F) < \rho_0(F)$. $\lim_{\varepsilon \rightarrow 0} \rho(\varepsilon, F) = \rho_0(F) = 1/\|T(s, F)\|_\infty$.

至此, 可将优化问题 (2.1) 转化为如下形式:

$$\sup_F \{\rho(\varepsilon, F)\} \quad \text{s. t. } A + BF \text{ 稳定.} \quad (2.4)$$

当 ε 足够小时, $\rho(\varepsilon, F)$ 的极大化等效于 $\|T(s, F)\|_\infty$ 的极小化. 理论上讲, $\rho(\varepsilon, F)$ 可任意逼近 $1/\|T(s, F)\|_\infty$. 但实际上, 当 $\varepsilon \rightarrow 0$ 时, 也会出现奇异性和计算精度问题. 这和已有的 H^∞ -优化方法相类似.

3 $\rho(\varepsilon, F)$ 的可微性及极大化方法

定理 3.1. 对于给定的 F_0 , 记 $k_0 = \rho(\varepsilon, F_0)$. 如果以下条件成立: 当 $k = k_0$ 时, 在 $-\varepsilon + j\omega$ 轴的上半部 ($\omega \geq 0$), $R(F_0, k)$ 只有唯一的第 i 条特征值轨迹与之相交, 且此特征值轨迹满足

$$\left. \frac{\partial \operatorname{Re} \lambda_i[R(F, k)]}{\partial k} \right|_{\substack{k=k_0 \\ F=F_0}} \neq 0,$$

则在点 F_0 的某一邻域 Δ 内, 有

$$\frac{\partial \rho(\varepsilon, F)}{\partial F} = - \frac{\frac{\partial \operatorname{Re} \lambda_i[R(F, k)]}{\partial F}}{\frac{\partial \operatorname{Re} \lambda_i[R(F, k)]}{\partial k}} \bigg|_{k=\rho(\varepsilon, F)} \quad (3.1)$$

证明. 注意到 $R(F, k) = \begin{bmatrix} A + BF & kGG' \\ -kH'H & -(A + BF)' \end{bmatrix}$ 是关于 F 和 k 的连续可微函

数. 又由条件知, 在 $k = k_0$ 处, λ_i 是 $R(F_0, k_0)$ 的单重特征值. 故据特征值及特征向量的连续性可知, 在点 $(F_0; k_0)$ 的邻域 D 内, $\partial \operatorname{Re} \lambda_i / \partial F$ 与 $\partial \operatorname{Re} \lambda_i / \partial k$ 存在且连续.

据多变量隐函数存在定理, 对隐函数 $\operatorname{Re} \lambda_i[R(F, k)] = -\varepsilon$ 有以下结论:

1) 在点 $(F_0; k_0)$ 的某一邻域 Δ' 内, 对于固定的 ε , 方程 $\operatorname{Re} \lambda_i[R(F, k)] = -\varepsilon$ 唯一地确定一个函数 $k = f(F)$, 且 $k_0 = f(F_0)$;

2) $f(F)$ 在 Δ' 内连续;

$$3) \frac{\partial k}{\partial F} = - \frac{\partial \operatorname{Re} \lambda_i}{\partial F} / \frac{\partial \operatorname{Re} \lambda_i}{\partial k} \Big|_{k=f(F)}$$

由 $k = f(F)$ 在 Δ' 内的连续性、 $k_0 = \rho(\varepsilon, F_0)$ 及 $\rho(\varepsilon, F)$ 的定义可得, 必存在点 F_0 ; 的邻域 Δ , 在其中有 $\rho(\varepsilon, F)f(F)$, 代入结论(3), 命题得证.

如果在 $k_0 = \rho(\varepsilon, F_0)$ 处, $R(F_0, k_0)$ 有二个以上的特征轨迹与 $-\varepsilon + j\omega$ 轴上半部 ($\omega \geq 0$) 相交, 那么一般说来 $\rho(\varepsilon, F)$ 在 F_0 处是不可微的. 这种情况等效于 $\sigma[T(j\omega, F_0)]$ 在 $0 \leq \omega < \infty$ 的范围内有两个以上等高的峰值(设 $\varepsilon \approx 0$).

以下推导求 $\partial \rho(\varepsilon, F)/\partial F$ 的详细算法.

对于给定的 F , 利用两分法求 $\rho(\varepsilon, F)$. 记 $R[F, \rho(\varepsilon, F)]$ 在 $-\varepsilon + j\omega$ 轴上的特征值为 $-\varepsilon + j\omega_0$, 所对应的左、右特征向量分别是 t' 和 v , 且 $t'v = 1$, 则

$$\frac{\partial \lambda_i}{\partial k} = t' \frac{\partial R(F, k)}{\partial k} v, \quad \frac{\partial \lambda_i}{\partial F_{ij}} = t' \frac{\partial R(F, k)}{\partial F_{ij}} v,$$

$$\text{故 } \frac{\partial \operatorname{Re} \lambda_i}{\partial k} = \operatorname{Re} \left[t' \frac{\partial R(F, k)}{\partial k} v \right], \quad \frac{\partial \operatorname{Re} \lambda_i}{\partial F_{ij}} = \operatorname{Re} \left[t' \frac{\partial R(F, k)}{\partial F_{ij}} v \right].$$

将 t', v 分块为 $t' = [t'_1, t'_2]$, $v = \begin{bmatrix} v_1 \\ v_2 \end{bmatrix}$, $t_1, t_2, v_1, v_2 \in R^n$,

$$\text{再由 } R(F, k) = \begin{bmatrix} A + BF & kGG' \\ -kH'H & -(A + BF)' \end{bmatrix}$$

可得

$$\frac{\partial \operatorname{Re} \lambda_i}{\partial F_{ij}} = \operatorname{tr} \left[\operatorname{Re}(v_1 t'_1 - t_2 v'_2) \cdot B \cdot \frac{\partial F}{\partial F_{ij}} \right],$$

因此得

$$\frac{\partial \operatorname{Re} \lambda_i}{\partial F} = [\operatorname{Re}(v_1 t'_1 - t_2 v'_2) \cdot B]'$$

同理

$$\frac{\partial \operatorname{Re} \lambda_i}{\partial k} = \operatorname{Re}(t'_1 GG' v_2 - t'_2 H' H v_1). \quad (3.2)$$

最后, 由定理 3.1 得

$$\frac{\partial \rho(\varepsilon, F)}{\partial F} = -[\operatorname{Re}(v_1 t'_1 - t_2 v'_2) B]' / \operatorname{Re}(t'_1 GG' v_2 - t'_2 H' H v_1). \quad (3.3)$$

考虑优化问题(2.4), 现已求得 $\partial \rho(\varepsilon, F)/\partial F$, 由于满足 $A + BF$ 稳定的 F 是个开集, 因此可利用梯度方法使 $\rho(\varepsilon, F)$ 增大, 从而使 $\|T(s, F)\|_\infty$ 减小. 这种方法可推广至优化传递函数中的其它变化参数.

4 带有极点配置约束的 H^∞ -优化问题

考虑以下优化问题:

$$\inf \|H(sI - A - BF)^{-1}G\|_\infty, \quad (4.1)$$

$$\text{s. t. } V^{-1}(A + BF)V = A_1, \quad (4.2)$$

其中 $A_1 = \text{diag}[\lambda_1, \lambda_2, \dots, \lambda_n]$. $\lambda_1, \dots, \lambda_n$ 为所指定的闭环极点. 如果其中有共轭复数, 例如 $\lambda_i, \lambda_{i+1} = \alpha_i \pm j\beta_i$, 则令 $A_1 = \text{diag} \left[\lambda_1, \dots, \begin{bmatrix} \alpha_i & \beta_i \\ -\beta_i & \alpha_i \end{bmatrix}, \dots, \lambda_n \right]$. (4.2) 式即极点配置约束^[4], 类似文[4]的方法, (4.2) 式可通过引入一矩阵函数 f 得以放松.

定义 4.1. 设 (A, B) 可控, A 和 A_1 无相同特征值, 则定义 $f: R^{m \times n} \rightarrow R^{m \times n}$ 为: 已知 $U \in R^{m \times n}$, 解 $AV - VA_1 = -BU$, 令 $F = UV^{-1}$, 则 f 的定义域 D_f 为使 V 非奇异的 U 的集合, U 在 f 下的象为 F , 即 $F = f(U)$. f 的值域 R_f 为 D_f 在 f 下的象集.

已经证明[4, 5], f 的值域就是所有满足 (4.2) 式的 F 的集合, f 的定义域为 $R^{m \times n}$ 中稠的开集. 利用此性质, 就可消除约束条件 (4.2), 将 (4.1) 式中的 F 用 $f(U)$ 代替, 而 U 是自由变量.

考虑优化问题

$$\sup_F \{ \rho(\varepsilon, F) \}, \text{ s. t. } V^{-1}(A + BF)V = A_1. \quad (4.3)$$

记 $J(U) = \rho(\varepsilon, f(U))$, 则 $\partial J / \partial U$ 可推导如下.

$$\begin{aligned} \frac{\partial J}{\partial U_{pq}} &= \sum_{l=1}^m \sum_{j=1}^n \frac{\partial J}{\partial F_{lj}} \cdot \frac{\partial F_{lj}}{\partial U_{pq}} \\ &= \text{tr} \left[\left(\frac{\partial J}{\partial F} \right)' \frac{\partial F}{\partial U_{pq}} \right] \quad \left(\frac{\partial J}{\partial F} = \frac{\partial \rho(\varepsilon, F)}{\partial F} \text{ 由 (3.3) 式给出} \right) \\ &= \text{tr} \left[\left(\frac{\partial J}{\partial F} \right)' \cdot \left(\frac{\partial UV^{-1}}{\partial U_{pq}} \right) \right] \quad (F = UV^{-1}) \\ &= \text{tr} \left[\left(\frac{\partial J}{\partial F} \right)' \left(\frac{\partial U}{\partial U_{pq}} V^{-1} - UV^{-1} \frac{\partial V}{\partial U_{pq}} V^{-1} \right) \right] \\ &= \text{tr} \left[\underbrace{V^{-1} \left(\frac{\partial J}{\partial F} \right)' \frac{\partial U}{\partial U_{pq}}}_{Q_1} - \underbrace{V^{-1} \left(\frac{\partial J}{\partial F} \right)' F \frac{\partial V}{\partial U_{pq}}}_{Q_2} \right] \\ &= \text{rs } Q_1 \cdot \text{cs} \frac{\partial U}{\partial U_{pq}} - \text{rs } Q_2 \cdot \text{cs} \frac{\partial V}{\partial U_{pq}} \end{aligned}$$

由定义 4.1, V 是 $AV - VA_1 = -BU$ 的解, 即

$$\text{cs } V = -(I_n \otimes A - A_1' \otimes I_n)^{-1} \cdot (I_m \otimes B) \cdot \text{cs } U.$$

$$\text{因而 } \frac{\partial J}{\partial U_{pq}} = [\text{rs } Q_1 + \text{rs } Q_2 \cdot (I_n \otimes A - A_1' \otimes I_n)^{-1} (I_m \otimes B)] \cdot \text{cs} \frac{\partial U}{\partial U_{pq}}.$$

$$\text{令 } X \text{ 为方程 } XA - A_1X = Q_2 \text{ 的解, 那么 } \text{rs } Q_2 \cdot (I_n \otimes A - A_1' \otimes I_n)^{-1} = \text{rs } X, \text{rs } Q_2 \cdot (I_n \otimes A - A_1' \otimes I_n)^{-1} \cdot (I_m \otimes B) = \text{rs}(XB), \text{ 因此, } \frac{\partial J}{\partial U_{pq}} = \text{rs}(Q_1 + XB) \cdot \frac{\partial \text{cs } U}{\partial U_{pq}}.$$

最后可得

$$\partial J / \partial U = (Q_1 + XB)', \quad (4.4)$$

其中 X 满足 $XA - A_1X = Q_2$. $Q_1 = V^{-1}(\partial J / \partial F)'$, $Q_2 = V^{-1}(\partial J / \partial F)'F$, $\partial J / \partial F = \frac{\partial \rho(\varepsilon, F)}{\partial F}$ 由 (3.3) 式给出.

以上 $\partial J / \partial U$ 的推导方法类似 [4] 中各梯度的推导, 符号 $\text{cs}[\cdot]$, $\text{rs}[\cdot]$ 分别表示列展

开和行展开,“ \otimes ”为 Kronecker 积

5 算法

下面给出求解 (4.1) 式的近似方法,即求解 (4.3) 式的梯度算法。

首先,用两分法求 $\rho(\varepsilon, F)$ 。关于 ε 的选择,理论上讲, ε 越趋近于 0, $\rho(\varepsilon, F)$ 越逼近 $1/\|T(s, F)\|_\infty$, 但这样会增大计算量和造成算法奇异性。一般取

$$\varepsilon = \left(\frac{1}{20} \sim \frac{1}{10} \right) \cdot \min_{i \in n} |\operatorname{Re} \lambda_i[A_1]|.$$

具体计算时,要求得精确的 $\rho(\varepsilon, F)$, 或是求得使 $\operatorname{Re} \lambda_i[R(F, k)] = -\varepsilon$ 的精确 k 需要花费大量的机时,没有必要。一定范围的误差是允许的。取小正数 $e, e \ll \varepsilon$, 那么,较易求得使 $-\varepsilon - e < \operatorname{Re} \lambda_i[R(F, k)] < -\varepsilon + e$ 的 k , 因此,有以下算法求近似的 $\rho(\varepsilon, F)$ 。

设 $R(F, k)$ 的特征值按实部的递增规则排序,即

$$\operatorname{Re} \lambda_1 \leq \operatorname{Re} \lambda_2 \leq \dots \leq \operatorname{Re} \lambda_n \leq 0 \leq \operatorname{Re} \lambda_{n+1} \leq \dots \leq \operatorname{Re} \lambda_{2n}.$$

注意到 $R(F, k)$ 的特征值关于虚轴对称。

Step 1. 取初值 k 。

Step 2. a) 如果 $\operatorname{Re} \lambda_n[R(F, k)] < -\varepsilon - e$, 那么用 $2k$ 取代 k , 重复此步骤; b) 如果 $\operatorname{Re} \lambda_n[R(F, k)] > -\varepsilon + e$, 则令 $k_1 = k, k_2 = 0$, 转 Step 3); c) $-\varepsilon - e \leq \operatorname{Re} \lambda_n[R(F, k)] \leq -\varepsilon + e$, 转至 Step 5)。

Step 3. 令 $k = (k_1 + k_2)/2$ 。

Step 4. a) 如果 $\operatorname{Re} \lambda_n[R(F, k)] < -\varepsilon - e$, 令 $k_2 = k$, 转至 Step 3); b) 如果 $\operatorname{Re} \lambda_n[R(F, k)] > -\varepsilon + e$, 令 $k_1 = k$, 转至 Step 3); c) $-\varepsilon - e \leq \operatorname{Re} \lambda_n[R(F, k)] \leq -\varepsilon + e$, 转至 Step 5)。

Step 5. k 即为 $\rho(\varepsilon, F)$ 的估计值。另外,记满足 $-\varepsilon - e \leq \operatorname{Re} \lambda_i[R(F, k)] \leq -\varepsilon + e, \operatorname{Im} \lambda_i[R(F, k)] \geq 0$ 的特征值的个数为 N (N 被认为是 $R[F, \rho(\varepsilon, F)]$ 在 $-\varepsilon + j\omega$ 轴上半部分的特征值个数)。

以上算法基于如下事实: 当 $k \geq 1/\|T(s, F)\|_\infty$ 时, $R(F, k)$ 在虚轴上有特征值, 当 $k < 1/\|T(s, F)\|_\infty$ 时, $R(F, k)$ 在虚轴上无特征值, 因而当 $\varepsilon \rightarrow 0$ 时有, $k \leq \rho(\varepsilon, F) \iff \operatorname{Re} \lambda_n[R(F, k)] \leq -\varepsilon$ 。

以下是梯度算法:

Step 1. 选择 U_0 , 令 $j = 0$ 。

Step 2. 解 $AV - VA_1 = -BU_j$, 令 $F = U_j V^{-1}$, 用以上算法求近似的 $\rho(\varepsilon, F)$ 及 N 。如果 $N \geq 2$, 则认为 $\partial J/\partial U$ 不存在, 转至 Step 5), 如果 $N = 1$, 转至 Step 3)。

Step 3. 求 $R(F, \rho(\varepsilon, F))$ 的左右特征向量 r' 和 v 。由 (3.3) 式求 $\partial \rho(\varepsilon, F)/\partial F$, 再由 (4.4) 式求 $\partial J/\partial U$ 。 ($J = \rho(\varepsilon, F)$)。

Step 4. 一维搜索 h , 使 $J\left(U_j + h \frac{\partial J}{\partial U}\right)$ 最大. 如果 $J\left(U_j + h \frac{\partial J}{\partial U}\right) - J(U_j) \leq \epsilon$, 转至 Step 5), 否则, 令 $U_{j+1} = U_j + h \frac{\partial J}{\partial U}$, 用 $j+1$ 代替 j , 转至 Step 2).

Step 5. 输出终值 U^* , F^* , 及 $J^* = \rho(\epsilon, F^*)$, 迭代结束.

6 算例

例 1. 开环系统同 [4] 中的例 1, 原出自文 [6]

$$\dot{x} = Ax + Bu,$$

$$A = \begin{bmatrix} -5 & 1 & 0 \\ 0 & 0 & 1 \\ 1 & 1 & 1 \end{bmatrix}, \quad B = \begin{bmatrix} 0 & 0 \\ 0 & 1 \\ 1 & 0 \end{bmatrix}.$$

给定闭环极点是 $-2 \pm j2, -4$. 目标是通过选择状态反馈使复数稳定范围 $1/\|(sI - A - BF)^{-1}\|_\infty$ 在极点配置的约束下最大, 与 (4.1) 式所描述的 H^∞ -优化问题相同. 取 $H = G = I_3$, 以及取 $\epsilon = 0.1$, 选择 $U_0 = \begin{bmatrix} 0 & 2 & 1 \\ 1 & 1 & 0 \end{bmatrix}$, $e = 0.02$, 那么由梯度方法得到结果见表 1.

表 1

迭代次数	0	1	2	...	8	9
$J = \rho(\epsilon, F)$	0.12502	1.33398	1.61914	...	1.66211	1.66211
$\ \partial J/\partial U\ _F^2$	2.91461	1.66608	0.28976	...	0.00013	0.00003

迭代在第 9 步停止, 此处 $\partial J/\partial U \approx 0$, F^* 为

$$F^* = \begin{bmatrix} 0.02546 & -2.72979 & -2.65177 \\ -3.26085 & -1.34822 & 1.03045 \end{bmatrix},$$

$\|(sI - A - BF^*)^{-1}\|_\infty = 0.60092$, $1/\|(sI - A - BF^*)^{-1}\|_\infty = 1.66411$, 略大于 $\rho(\epsilon, F^*) = 1.66211$.

若取不同的初值 U_0 , 可得其它驻点, 例如

$$F_1^* = \begin{bmatrix} -1.99222 & 0.72296 & -2.64439 \\ -3.27407 & -1.35560 & -3.02955 \end{bmatrix}.$$

这一 F_1^* 所对应的 $\rho(\epsilon, F_1^*) = 1.66260$, $1/\|(sI - A - BF_1^*)^{-1}\|_\infty = 1.66411$, $\|(sI - A - BF_1^*)^{-1}\|_\infty = 0.60092$, 与前一 F^* 的几乎相同.

用本文方法所得结果明显好于文 [4, 6], 其中, 文 [4] 中的 $1/\|(sI - A - BF)^{-1}\|_\infty$ 的最大值是 1.65865, 而文 [6] 的最大值是 1.5791.

例 2. 开环系统同文 [4] 的例 2, 原出自文 [7]. 设计目标同例 1. 其中, $n = 5$, $m = 2$, A, B, A_1 同 [4], $H = G = I_5$.

取 $\varepsilon = 0.01$, $e = 0.002$, $U_0 = \begin{bmatrix} -1 & 0 & 0.2 & 2 & -0.7 \\ 0 & -1 & -3 & 0.3 & 1 \end{bmatrix}$, 则梯度算法的结果见表 2.

表 2

迭代次数	0	1	2	...	7	8
$J = \rho(\varepsilon, F)$	0.02210	0.04805	0.05898	...	0.11138	0.11147
$\ \partial J/\partial U\ _F^2$	0.00283	0.00095	0.00175	...	0.00259	无

在第 8 步, $R(F_8, \rho(\varepsilon, F_8))$ 在 $-\varepsilon + j\omega$ 轴附近有三个特征值: $-0.00977 \pm jx$ 和 -0.01129 . 因此认为 $\partial J/\partial U$ 不存在, 并终止迭代.

$$F_8 = \begin{bmatrix} -21.72166 & 76.53389 & -121.1476 & 80.40894 & -38.9798 \\ -11.48118 & 14.58577 & 2.26744 & -19.05556 & 4.46882 \end{bmatrix}.$$

$\rho(\varepsilon, F_8) = 0.11147$, $1/\|(sI - A - BF_8)^{-1}\|_\infty = 0.11150$, $\|(sI - A - BF_8)^{-1}\|_\infty = 8.96861$. 虽然这不是最优解, 但梯度方法的效果是显然的, 且比文 [4, 7] 的结果好. 文 [7] 中的 $\|(sI - A - BF)^{-1}\|_\infty$ 的最小值是 14.353, 文 [4] 的最小值是 10.80030.

以上例子都显示了本文方法的有效性及其梯度的准确性.

参 考 文 献

- [1] 胡庭姝等. 通过传递函数的状态空间实现求 H^∞ -范数. 自动化学报, 1991, 17(2): 215—219.
- [2] Khargoneker P P, et al. H^∞ -Optimal control with state feedback. IEEE, 1988, AC-33: 786—788.
- [3] Hinrichsen D, et al. Stability radius for structured perturbations and the algebraic Riccati equation. *Systems and Control Letters*, 1986, 8: 105—113.
- [4] 胡庭姝等, 鲁棒设计的新方法—— $\bar{\sigma}[p]$ 和 $\bar{\sigma}[v]\bar{\sigma}[v^{-1}]$ 的极小化. 自动化学报, 1994, 20(2): 129—137.
- [5] Hu T S, et al. The set of feedback matrices that assign the poles of a system. Proc. of MTNS-89, 2: 129—135.
- [6] Dickman A. On the robustness of multivariable linear feedback systems in state space representation, IEEE, 1987, AC-32: 407—410.
- [7] Kautsky J, et al. Robust pole assignment in linear state feedback. *Int. J. Control*, 1985, 41: 1129—1155.

A GRADIENT APPROACH TO H^∞ -OPTIMIZATION

HU TINGSHU CHEN LI

(Dept. of Automatic Control, Shanghai Jiaotong Univ. Shanghai 200030)

ABSTRACT

In this paper, a gradient approach to H^∞ -optimization is presented. This new approach is very effective and flexible. Through the relation between the H^∞ -norm and state-space representation, an alternative performance index $\rho(\varepsilon, F)$ is defined, with the relation $\lim_{\varepsilon \rightarrow 0} \rho(\varepsilon, F) = \|T(s, F)\|_\infty^{-1}$. The differentiability of $\rho(\varepsilon, F)$ with respect to F is investigated and $\partial \rho(\varepsilon, F) / \partial F$ is provided. A gradient algorithm is derived to maximize $\rho(\varepsilon, F)$, and hence to minimize $\|T(s, F)\|_\infty$. Examples show that the gradient algorithm is very effective in increasing $\rho(\varepsilon, F)$. The algorithm converges to stationary points or stops at non-differentiable points.

Key words: H^∞ -norm, gradient method, differentiability, pole assignment.

胡庭姝 照片、简介见本刊第 20 卷第 20 期。

陈 力 生于 1973 年。1993 年毕业于上海交通大学自动控制系, 获学士学位, 现在该系攻读硕士学位。研究方向是鲁棒控制。

